

M. E. 海 因

# 电子显微镜 技术现状

科学出版社

电 子 显 微 镜  
技 术 现 状

M. E. 海 因 著  
叶 容 譯

科 学 出 版 社

M. E. HAINE  
THE ELECTRON MICROSCOPE  
The Present State of the Art  
E. & F. N. Spon Ltd.  
1961

## 內容簡介

本书着重讨论了有关电子显微镜的一些基本问题，如分辨本领，象衬度等。为了使较多的读者易于接受，书中尽量避免数学推算，而用图表、曲线和公式表示出推算或实验的结果。书中关于仪器性能检验和矫正的部分，对使用者说来可能是特别有兴趣的。有关各种设计问题的内容，可供制造工作者的参考。在需要用实例说明的地方，一般以当时英国性能最高的 M-V.E.M. 6 型电子显微镜为例。

本书可供设计、制造电子显微镜的工作人员和生物、医学、地质、金属学等领域中使用电子显微镜的科学工作者参考。

## 电子显微鏡 技术现状

[英] M. E. 海因著  
叶 容译

\*

科学出版社出版  
北京朝阳門內大街 117 号  
北京市书刊出版业营业許可証出字第 061 号

中国科学院印刷厂印刷

新华书店北京发行所发行 各地新华书店经售

\*

1965 年 8 月第 一 版 开本：850×1168 1/32  
1965 年 8 月第一 次印刷 印张：6 1/2 插頁：13  
印数：0001—2,700 字数：189,000

统一书号：15031·202  
本社书号：3289·15—4

定价：[料六] 1.40 元

## 序　　言

虽然 A. Fleming 早在 1900 年以前即已得到用电子放大的象，但电子显微鏡的真正历史只能追溯到廿世紀的二十年代。1925 年 L. de Broglie 提出关于物质颗粒波动性的假說，而 1926 年 Busch 才发表对螺線管場透鏡效应的最初分析。在这以后很快就有电子显微鏡的想法，它誕生在柏林，第一台仪器是由 Ruska 和 Knoll 制成的，他們改装了一台可拆卸的高速阴极射線示波器。这一开端导致了該仪器及其应用的持續发展，不仅是在柏林的各实验室，而且在世界各地的許多其他实验室。

这个仪器及其应用上的一些严格要求已經促使設計人員和技术人員充分发挥了他們的技巧和才能。正如常常遇見的那样，对有关原理和限制的更好了解导致更简单和更便宜的設計以及更完善的操作。对于这个仪器的使用者說，了解它的一些原理和限制也是极为重要的。尽量簡單而充分地說明这些問題正是写这本书的主要动机。书中尽可能避免用数学，而代之以实验数据。书中給出了有关的文献，但并非应有尽有。这方面的文献极多，本书作者选用的参考目录，更多是为了解說，而不是为了發揮，也許要对許多作者致歉意，他們的論文在本书中沒有提及。很自然，选用的論文常是本书作者的一些同事所著，插图也大部分取自他們和作者自己的工作。應該充分承認在一些其他实验室电子显微鏡的发展也毫不逊色，特別在德国——它的誕生地——Ruska 教授的实验室、菲力浦斯研究实验室、荷兰的台尔夫特以及美国的 R. C. A. 实验室，这仅仅是一长串研究者和实验室名单的一个开端，他們都对这个領域有很多貢献。特別應該提到已故的 Knoll 教授，他同 Ruska 一起制成了第一台电子显微鏡，还有已故的 G. Liebmann

博士，他作为作者的同事，是电子透鏡許多基本研究的創始人，并且曾經是我們所有人得到鼓舞的主要源泉。

M. E. Haine

1959年12月

# 目 录

序言 .....	vii
引論 .....	1
第一章 电子显微鏡透鏡的光学性质 .....	4
磁透鏡的聚焦性能 .....	8
最小焦长 .....	11
磁透鏡的球面差 .....	12
色差 .....	13
象旋转 .....	14
畸变 .....	15
象散 .....	16
静电透鏡 .....	18
静电透鏡的象散 .....	20
参考文献 .....	21
第二章 电子波、相干性和波传播 .....	22
波动和波动传播 .....	22
显微鏡系统中波的传播 .....	25
发射、波、相干性 .....	32
相干性 .....	36
显微鏡中的相干性 .....	40
第三章 分辨本領的一些理論限制 .....	43
几何象差的效应 .....	45
分辨本領为色效应所限制 .....	50
克服各种分辨本領限制的可能性 .....	51
参考文献 .....	55
第四章 象衬度 .....	57
电子散射 .....	58
弹性散射 .....	58

非弹性散射 .....	60
衬度 .....	61
相干波 .....	62
相位角 $\tau$ .....	63
衬度计算 .....	64
振幅衬度 .....	64
相位衬度 .....	65
散焦相位衬度( $C'$ 相位) .....	65
非弹性散射和衬度 .....	66
延续的被检物 .....	68
参考文献 .....	70
<b>第五章 限制性能的一些实际因素.....</b>	<b>71</b>
象散 .....	71
矫正的方法和试验 .....	75
矫正象散的实际做法 .....	78
仪器的不稳定性 .....	79
应用试验方法和最佳观察 Fresnel 条纹的一些条件 .....	81
整个试验程序 .....	83
标本对分辨本领的影响 .....	89
结语 .....	91
参考文献 .....	92
<b>第六章 电子枪特性.....</b>	<b>93</b>
灯丝寿命 .....	94
实际电子枪性能 .....	98
电子枪中电子束的形成机制 .....	104
自偏压 .....	106
结语 .....	109
附录：亮度 .....	110
参考文献 .....	113
<b>第七章 电子象的观察和记录.....</b>	<b>114</b>
加强象的可能性 .....	119
电子象的照相记录 .....	123

<b>参考文献</b>	124
<b>第八章 設計考慮</b>	126
照明系統	126
→電子槍	127
聚光鏡	129
物鏡	135
磁設計	137
实际透鏡設計	141
投影鏡	143
中間鏡	145
→電子光学系統的合軸	149
合軸技術	151
双聚光鏡的合軸要求	154
合軸機構	155
物鏡光闌	158
磁屏蔽	160
標本室和機械台	160
鏡筒的機械設計	166
照相機	167
真空接頭	168
參考文獻	169
<b>第九章 有关技术和仪器</b>	170
電子反射技術	170
局部電子衍射	172
→電子探針的应用:	173
点投影電子顯微鏡	173
点投影X線顯微鏡	174
扫描技术	175
→X线探针显微分析器	176
其他技术	177
參考文獻	177
<b>第十章 标本技术和应用</b>	179
引言	179

结构类型	179
标本载膜	181
将标本装置在载膜上	184
投影	185
标本的几种主要型式	187
薄膜 187; 纤维 188; 薄切片 193; 厚标本 194	
复型技术	194
复型的应用	202
金属 202; 颗粒状材料 202; 生物材料的复型 204	
生物学应用	206
冶金学应用	214
晶体和晶体点阵	215
参考文献	217
汉英名詞索引	221

## 引 論

肉眼不能看清物体上小于 0.1 毫米的細微部分。顯微鏡實質上是一個獲得細微部分的放大象的儀器，使它們能被人看清楚。光的波動性給顯微鏡能“分辨”的精細程度規定了一个根本性限度。這個限度與顯微鏡的放大率无关，後者能够依靠增多透鏡數目或使用更強的透鏡而无限增大。一個顯微鏡能分辨的最小微體稱為它的**分辨本領**。由於各種原因，在一個給定的象中所再現的最小細微部分可能大于儀器的分辨本領，為了和分辨本領相區別，稱它為**象分辨率**。因此，分辨本領，正如其名稱所示，表示儀器在理論上或實際上的分辨能力，而分辨率則指真正得到的效果。

顯微鏡的基本部件是透鏡，透鏡的光学性質為大家所熟知，無庸在此贅言。顯微鏡的基本光学系統包括一系列透鏡，它們產生一系列累進放大的象。最終象的亮度決定於從被檢物進入物鏡的輻射強度及總放大率( $M$ )。由於亮度的減弱和  $1/M^2$  成正比，因此有必要集聚尽可能多的照明輻射，以便產生可見的亮象。為達到這一目的，物鏡的孔徑角——物鏡接收的輻射錐的角度——必須大。這個角度可用由被檢物每點發出而進入物鏡的光錐的半角( $\alpha$ )來定義，大家熟知，這個角度增大時透鏡的象差更加嚴重，因此為了會聚更多的光就需要更完善的透鏡。

然而，使用大孔徑還有一個更为重要的理由，前面已經提過顯微鏡的分辨本領受到輻射的波動性限制，它的效果是，一個無限小的輻射體所產生的象將是一個半徑為  $d$  的輻射斑：

$$d = 0.61\lambda / \sin \alpha,$$

式中  $\lambda$  是被檢物和物鏡之間的照明波長。

由此可見，為得最佳的分辨率，需要大的  $\alpha$  值和短波長輻射。綠光的波長約  $5000 \text{ \AA}$ ；紫外線的波長約  $2500 \text{ \AA}$ 。沿着電磁波譜再

往下找，可以找到波长短至 1 Å 或更短的 X 線，但遺憾的是迄今沒有設計出滿意的 X 線透鏡。

帶電粒子束如電子束可在靜電場或磁場中發生偏轉，正如光在兩種折射系數不同的介質界面上發生偏轉一樣，這個事實暗示將這種束線聚焦的可能性。在 1926 年 H. Busch 發表了這種透鏡的最初理論分析，採用的是軸對稱場，由該工作自然產生電子顯微鏡的想法。假若 L. de Broglie 沒有在 1924 年提出運動帶電粒子的波動性假說——該假說為 Davison 和 Germer 電子衍射的經典實驗所充分証實，人們本有可能認為這樣一個顯微鏡的分辨本領僅受到電子非常小的尺寸的限制。粒子束的波長由下式決定：

$$\lambda = h/mv,$$

式中  $h$  是普朗克常數， $m$  是電子質量， $v$  是它的速度。由於動能等於位能，電子的速度與它經受的加速靜電位( $\phi$ )有一定關係：

$$\frac{1}{2} mv^2 = e\phi,$$

$$v = \sqrt{2e\phi/m},$$

式中  $e$  是電子的電荷，所以：

$$\lambda = h/\sqrt{2em\phi}.$$

將  $h$ 、 $e$  和  $m$  的數值代入，並用 Å 表示  $\lambda$ ，

$$\lambda = \sqrt{150/\phi} \text{ Å}.$$

因此， $\phi = 100$  千伏時，

$$\lambda = 0.04 \text{ Å}.$$

這個數值要比光波長短  $10^5$  倍，而且大大小於固體中的原子間距 ( $2-5$  Å)，因此，如果可以用大孔徑透鏡的話，波長似乎並不構成對分辨本領的特殊限制。

事實上，迄今最好透鏡中所應用的孔徑由於受到象差的限制，其半角不超過  $1/100$  弧度，因此把電子顯微鏡可能達到的分辨本領限制在幾個 Å，或大約相當於固體中的原子間距。

在後面數章將看到，在決定上述分辨率可以利用到什麼程度

时，衬度考慮起着重要作用。此外，还将說明在試圖達到理論容許的效果時碰到的一些實際困難。

如果要使大小為  $d$  的細部能為肉眼看見，必須產生一放大象，象中該細部的大小應大于肉眼的分辨率（0.1—0.3 毫米）。當  $d$  只有幾個  $\text{\AA}$  時，放大率必須很大（接近  $\times 10^6$ ）。只要放大方法所造成的分辨率限度並不超过物鏡的限度，則究竟採用何種方法以獲得上述放大率並無真正重要性。因此，一部分放大率常可通過照相放大得到，這時只需在中等放大率下攝取電子象。當然，這種放大照相的分辨率受照相底片“顆粒”的限制。

由於在大氣壓的空气中電子的平均自由射程很短，因此整個顯微鏡系統必須處於高真空中，當然也必須能夠方便地換標本和照相底片。為此顯微鏡系統必須不斷地抽氣。為了節省時間，常利用氣閥來換入標本和照相底片。

通常由加速的電子產生照明電子束，這些電子由電子槍中一個熱鎢絲陰極發射出來，陰極上加著一個負的直流加速電壓。由於磁透鏡的焦距決定於電子能量以及透鏡勵磁電流，因此有必要穩定加速電壓和透鏡電流。如要達到很高的分辨本领，則穩定度要求是很嚴格的，只容許十萬分之几或更小的變動。就靜電透鏡而言，如果透鏡和電子槍是在同一電源下工作，則上述變動可得到補償。

以上簡短陳述了電子顯微鏡原理的諸要點，後面各章將依次討論設計和操作中的一些詳情。

# 第一章 电子显微鏡透鏡的光学性质

一个以速度  $v$  运行的电子在靜電場或磁場中将受到一个加速力的作用，在靜電場中，这个力是：

$$eE = e \frac{dV}{ds},$$

式中  $e$  是电子的电荷， $E$  是場強（等于电位的空間导数  $dV/ds$ ），加速的方向就是場的方向。

在磁場中，加速力是  $Hev$ ，其中  $H$  是磁場強。力的方向垂直于运动方向和場方向二者。显然，知道了这些簡單关系和某一系統中場的分布后，就能計算电子通过場的轨迹。在本书中不拟多談这些計算方法，其他书(Liebmann, 1950)对此有很好的描述。为了了解电子显微鏡，只需要知道这些計算的結果，亦即透鏡本身的性質。这些性質，后面将会看到，可以相当准确地用简单公式或曲綫組来表示。虽然如此，仍有必要对透鏡中电子轨迹的形状略知一二，因为它們在某些方面与比較普通的光学系統中的轨迹有所不同。最重要的区别是，在电子透鏡中有效折射系数是連續变化的，而在复合光学透鏡中，折射系数的突变发生于玻璃界面上。

靜電透鏡的最簡單形式如图 1.1 所示，由两个同軸圓筒或光

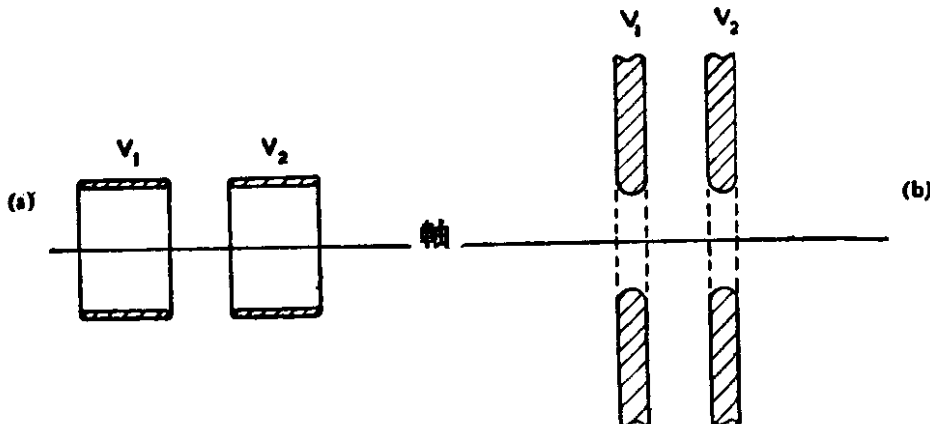


图 1.1. 简单的二圆筒(a)和二光闌(b)靜電透鏡。

闌构成，二者間有一电位差( $V_2 - V_1$ )。这种型式的透鏡用在电子显微鏡中并不方便，因为它要求显微鏡的不同部分处于不同的电位。一种更加方便的装置(单透鏡)示于图 1.2，它由三个同軸圓筒或光闌构成，外側的两个与鏡体(地)相連，中間的一个連到电子枪阴极。图 1.3 表示一个实际的这种型式透鏡的截面图，中間极按阴极高压的要求予以絕緣。这个装置实际上是一个双透鏡，前一半是一个減速透鏡(因为它的場使电子減速)，而后

一半是一个加速透鏡。图 1.4(a) 表示場的分布和一条典型的电子軌迹(虛線)。图 1.4 (b) 表示离开透鏡軸一定距离处的場徑向分量。透鏡作用自然是靠了徑向場，可以看出在透鏡的两外端徑向

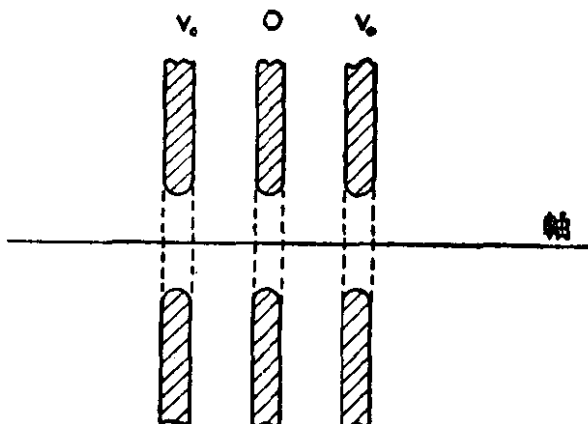


图 1.2. 三电极单透鏡

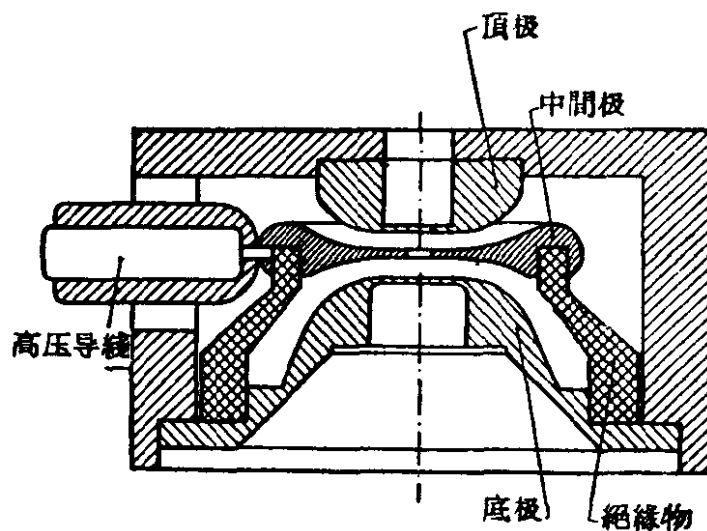


图 1.3. 典型单透鏡的截面图

場是向外的(負透鏡作用)，而在透鏡的中部徑向場是向內的(正透鏡作用)。透鏡中部的电位比較接近阴极电位，电子在这里通过得較慢，因此向內的場有較大的作用，所以总的透鏡作用是正的。

图 1.5 表示一个典型磁透鏡的截面图，它由一个鐵迴路(A)和一个励磁螺綫管綫圈(B)构成，鐵迴路在(C)处有一間隙，該处互

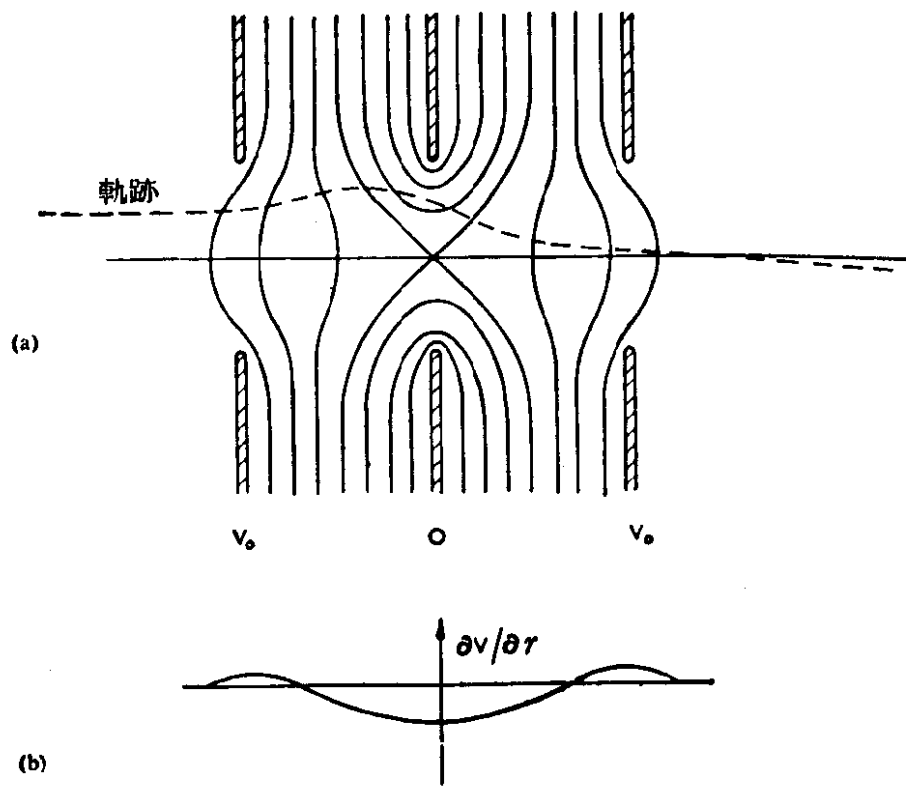


图 1.4. (a) 三光闌单透镜的等位面分布和典型的电子轨迹;  
 (b) 单透镜中电子場径向分量的分布。

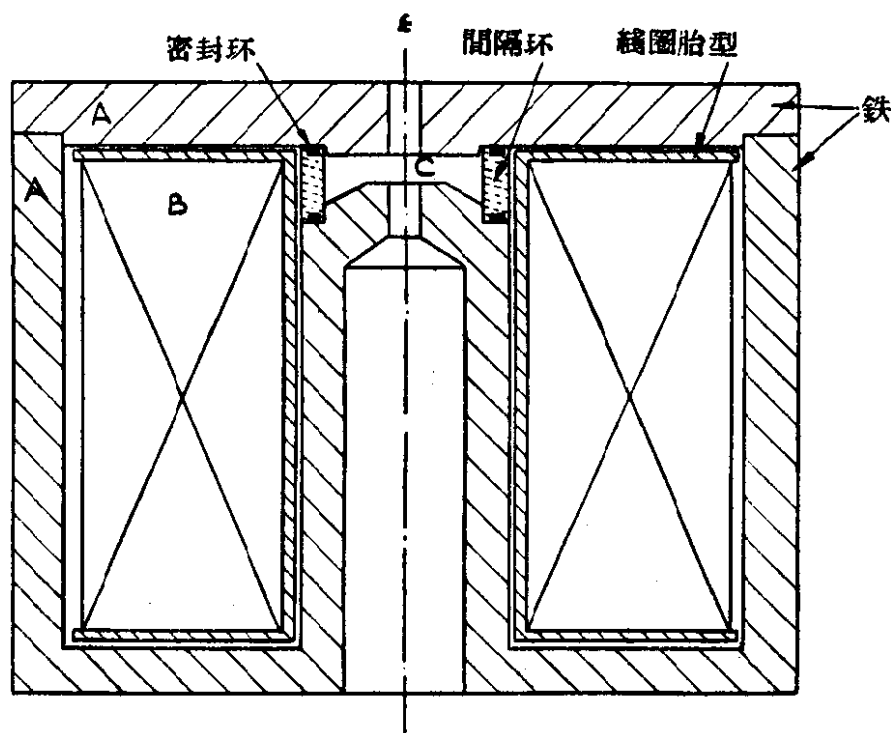


图 1.5. 典型磁透镜的截面图。

相平行的极面上鉆有貫穿过鐵的軸孔。

电子显微鏡透鏡的一些重要性質是焦长、焦距、球面差、色差以及因对称性不够产生的象散(由制造中誤差产生),对于投影鏡,还有称做畸变的象差。其他一些象差就其大小而言可予忽略。

**焦长和焦距**的定义見图 1.6,該图中  $OZ$  为透鏡軸。垂直于軸并标以  $z = 0$  的直綫代表中央平面。一条电子轨迹进入透鏡,交軸于  $F_0$ ,  $F_0$  与透鏡中心的距离为  $z_0$ , 离开透鏡时的电子轨迹平行于軸。

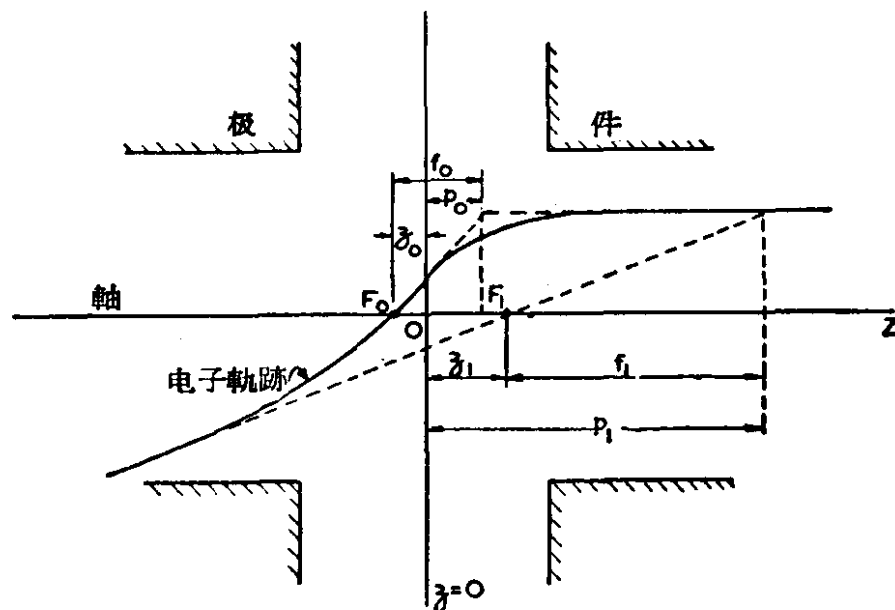


图 1.6. 电子透鏡中焦长和焦距定义的示意图。

当这个透鏡用作物鏡时,如要得到无穷大放大率,被检物应放在  $F_0$  处。这很接近于通常使用的条件,因为电子显微鏡每級透鏡的放大率通常为 100 或更大。作一条与轨迹相切于  $F_0$  的直綫,它与平行于軸的出射綫的延长綫相交于一点,該点距离透鏡中心为  $p_0$ ,通过交点的平面为主平面,物鏡的焦长为:

$$f_0 = p_0 + z_0.$$

当这个透鏡用作投影鏡时,入射綫如果繼續前进而不偏轉的話,将交軸于  $F_1$ , 距离透鏡中心为  $z_1$ , 再前进, 将与出射綫相交于一点,該点距离透鏡中心为  $p_1$ 。这时有效焦长是:

$$f_1 = p_1 - z_1.$$

因此,这个透鏡用作投影鏡时的焦长要大于用作物鏡时的。

造成这个差别的原因是，在投影鏡中，电子射線在到达象平面之前发生弯曲。当焦点位于透鏡外面时，亦即在弱透鏡的情况下，該差別即行消失。故对于弱透鏡

$$f = f_1 = f_0 = z_1.$$

对于靜電透鏡，有一些  $f_0$  值要求被检物位于靜電場中，这些  $f_0$  值是不可使用的，因为这时被检物将使場畸变；如果被检物或它的支筒是磁性的，则在磁透鏡中也会发生同样的情况，但一般說，这是可以避免的。

普通电子显微鏡透鏡的球面差都是正的，就是說，远軸电子通过透鏡时被折射的程度按比例地高于近軸(傍軸)电子。球面差的大小用常数  $C_s$  表示，

$$\delta r = MC_s \alpha^3,$$

式中  $M$  为放大率， $\alpha$  为一电子射線在物平面中与軸构成的角度， $1\delta r$  是它抵达象平面时产生的径向誤差。如果还原到物平面上，则該誤差为：

$$\delta r = C_s \alpha^3.$$

所有在角度范围  $0 - \alpha_0$  内的电子射線綜合产生一散焦盘，它的最小半径为  $1/4C_s \alpha^3$ 。当在波动光学基础上考慮成象問題时，这个散焦盘的意义不太重要，見第三章。但常数  $C_s$  的意义不变，需要知道的是这个常数随透鏡設計而有的变化。

### 磁透鏡的聚焦性能

若干研究者进行了磁透鏡聚焦性能和象差的計算，这方面有重要貢獻者为以下諸人：Glaser (1941) 根据解析場分布并适应于計算分布計算了这些性能；Lenz (1950) 計算了場和軌迹，从而也計算了透鏡性能；Liebmann 和 Grad (1951) 利用 Liebmann (1950a) 的电阻网络类比法，得到准确度很高的 ( $\sim 1:10^4$ ) 場分布，由此計算了軌迹和性能。这三位研究者得到的結果很一致，同时也符合其他研究者得到的實驗測定結果。这里給出的所有数据均根据 Liebmann 的結果。